

МОДЕЛИРОВАНИЕ РАЗВЕРТЫВАНИЯ ТРОСОВОЙ СИСТЕМЫ И ДВИЖЕНИЯ ЛЕГКОЙ КАПСУЛЫ С ТРОСОМ НА ВНЕАТМОСФЕРНОМ УЧАСТКЕ СПУСКА С ОРБИТЫ

В настоящее время в космонавтике существует большое количество разнообразных проектов использования тросовых систем для различных целей. Несколько таких проектов уже были успешно реализованы: TSS-1 (1992), TSS-1R (1996), TiPS (1995), ATEX (1998), SEDS-1 and SEDS-2. Такие системы имеют большие динамические возможности и разнообразные приложения [1,2].

Рассматривается задача моделирования разворачивания и движения капсулы вместе с тросом на внеатмосферном участке спуска с орбиты Земли в рамках совместного российско-европейского проекта YES2. Спуск происходит с высоты 300 км, и моделирование производится до плотных слоев атмосферы (до высоты порядка 100 км).

Первоначально капсула закреплена на космическом аппарате (КА) «Фотон-М». В начальный момент времени капсула и КА составляют единую систему, и разворачивание связки представляет собой процесс перевода КА и капсулы в состояние, когда они находятся на некотором расстоянии друг от друга (около 30 км), оставаясь соединенными тросом. Механизм отделения сообщает капсуле начальную скорость 2 м/с, направленную по локальной геовертикали к Земле. Разворачивание происходит под действием гравитационных сил без использования реактивных двигателей. После достижения заданной длины трос фиксируется, и капсула на тросе некоторое время совершает маятниковое движение. Рассматривается вариант спуска, когда при прохождении тросовой системой локальной геовертикали трос обрывается около КА и капсула вместе с тросом движется по направлению к Земле.

Уравнения движения записаны в геоцентрической неподвижной системе координат. Тросовая система рассматривается как система N материальных точек. Первая из них соответствует КА, последняя – возвращаемой капсуле, а остальные точки представляют собой цепочку частиц, связанных между собой вязкоупругими связями, моделирующими гибкий трос. Параметры частиц и вязкоупругой связи выбираются соответствующими эквивалентному элементу троса. На все элементы системы действуют гравитационные (модель центрального поля притяжения Земли), аэродинамические, упругие и диссипативные силы.

Такой метод представления распределенных систем широко используется при моделировании, поскольку он представляет собой простой способ создания физически реалистичного движения в самых различных ситуациях. Несмотря на то, что в реальности масса распределена по его объему, часто бывает возможным моделировать движение тела, рассматривая его как набор точек с массой. Хотя взаимодействие между отдельными движущимися точками может быть и очень сложным, но во многих случаях его можно приблизительно описать простыми механическими связями. Таким образом, модель представляет собой очень гибкую технику моделирования [4].

Рассматриваемая система характеризуется следующими параметрами: максимальная длина троса 30000 м, диаметр троса 0.0006 м, масса троса 5 кг, модуль Юнга $1.2 \cdot 10^{10}$, масса КА 7250 кг, масса капсулы 18 кг, характерная площадь КА 10 м^2 , характерная площадь капсулы 0.8 м^2 .

Движение тросовой системы описывается системой уравнений

$$y'(t) = f(y) \quad (1)$$

с начальными условиями $y(t_0) = y_0$, где $y = \begin{bmatrix} \mathbf{r} \\ \mathbf{v} \end{bmatrix}$, $\mathbf{r} = [\mathbf{r}_1 \ \mathbf{r}_2 \ \dots \ \mathbf{r}_N]^T$, $\mathbf{r}_i = [r_{ix} \ r_{iy} \ r_{iz}]^T$,

$\mathbf{v} = [\mathbf{v}_1 \ \mathbf{v}_2 \ \dots \ \mathbf{v}_N]^T$; $\mathbf{v}_i = [v_{ix} \ v_{iy} \ v_{iz}]^T$, $i = 1, N$; $r_{ix}, r_{iy}, r_{iz}, v_{ix}, v_{iy}, v_{iz}$ - координаты

скорости точек по каждой из осей, $f(t, y) = \begin{bmatrix} \mathbf{v} \\ \mathbf{M}^{-1} \mathbf{F}(t, y) \end{bmatrix}$; $\mathbf{M} = [M_1 \ M_2 \ \dots \ M_N]$

$M_i = [m_i \ m_i \ m_i]$, $m_i, i = 1, N$ - массы точек; \mathbf{I} - единичная матрица размерности $3N \times 3N$

$\mathbf{F} = [\mathbf{F}_1 \ \mathbf{F}_2 \ \dots \ \mathbf{F}_N]^T$; $\mathbf{F}_i = [F_{ix} \ F_{iy} \ F_{iz}]^T$ - силы, действующие на точки.

На движущуюся по орбите тросовую систему действует много сил. В их число входят гравитационное взаимодействие системы с Землей, Солнцем, Луной и планетами Солнечной системы; давление солнечного излучения; сопротивление атмосферы. Кроме того, в системе существует взаимодействие между ее элементами. При моделировании рассматривались наиболее значимые из факторов, влияющих на движение. Суммарная сила, действующая на точку, формируется следующим образом:

$$\mathbf{F}_i = \mathbf{F}_{G1} + \mathbf{F}_{S1} + \mathbf{F}_1 + \mathbf{F}_{D1} \quad (2)$$

Опишем каждую из ее составляющих подробнее. F_{G_i} — сила притяжения, действующая

на i -ю точку со стороны Земли. Если m_E — масса Земли, γ — гравитационная постоянная, то получим: $F_{G_i} = -m_E \cdot \gamma \cdot m_i \frac{R_i}{R_i^3}$, $R_i = (r_{ix}^2 + r_{iy}^2 + r_{iz}^2)^{1/2}$.

Силы, действующие со стороны Солнца, Луны и планет, очень малы и не оказывают влияния на траекторию спуска. Эти силы не учитываются и при развертывании, поскольку время развертывания составляет всего несколько часов.

F_{S_i} — сила сопротивления атмосферы. Для ее вычисления используется модель свободномолекулярного течения. Она предполагает ударное взаимодействие набегающего потока с поверхностью обтекаемого тела. Сила принимается пропорциональной плотности атмосферы:

$$F_{S_i} = -\frac{\rho_i \cdot C_i \cdot S_i \cdot V_i}{2} \begin{bmatrix} v_{ix} \\ v_{iy} \\ v_{iz} \end{bmatrix}, \quad V_i = (v_{ix}^2 + v_{iy}^2 + v_{iz}^2)^{1/2}$$

где C_i — коэффициент аэродинамического сопротивления i -го элемента системы, S_i — характерная площадь элемента, ρ_i — плотность атмосферы на высоте i -го элемента. Плотность атмосферы вычисляется на основании данных NASA, доступных по адресу <http://nssdc.gsfc.nasa.gov/space/model/models/msis.html>. Информация об атмосфере представлена в виде таблицы и поэтому для получения плотности атмосферы на заданной высоте используется линейная интерполяция.

T_i — силы упругости, действующие на i -ю точку со стороны точек $i+1$ и $i-1$. Полагая, что силы упругости действуют по закону Гука, получаем, что на i -ю частицу со стороны $i+1$ -й частицы действует сила:

$$F_{T_i} = \begin{cases} |\mathbf{L}_i| \geq L_0, -k \frac{(|\mathbf{L}_i| - L_0)}{L_0} \frac{\mathbf{L}_i}{|\mathbf{L}_i|}, & \mathbf{L}_i = \begin{bmatrix} r_{i+1,x} - r_{i,x} \\ r_{i+1,y} - r_{i,y} \\ r_{i+1,z} - r_{i,z} \end{bmatrix} \\ |\mathbf{L}_i| < L_0, 0 & \end{cases} \quad (3)$$

В формуле (3) $k = E \cdot A$ — коэффициент жесткости, E — модуль Юнга, A — площадь поперечного сечения троса, L_0 — длина нерастянутого троса.

При $|\mathbf{L}_i| < L_0$ сила $F_{T_i} = 0$, так как в реальности элемент тросовой системы практически не оказывает сопротивления сжатию. Используя (3), получим:

$$\mathbf{F}_i = \begin{cases} i = 1, -\mathbf{F}_{T1} \\ i = 2, N-1, \mathbf{F}_{T_{i+1}} - \mathbf{F}_{T_i} \\ i = N, \mathbf{F}_{TN} \end{cases}$$

При разворачивании тросовой системы управление осуществляется с помощью механизма, регулирующего натяжение и скорость разворачивания путем намотки троса на вал. модели механизма управления представили дополнительной силой $\mathbf{F}_{упр}$, которая соответствует силе натяжения, возникающей при намотке троса на вал. Управляющая сила добавляется действующим силам в векторе \mathbf{F} , и в уравнении (2) к \mathbf{F}_i добавляется $\mathbf{F}_{упр}$, которая рассчитывалась по формуле:

$$F_{упр} = \begin{cases} T_0 e^{i\mu\varphi} + \rho v^2 (e^{i\mu\varphi} - 1) + e^{i\mu\varphi} \left[\int_0^{\varphi} \rho a_t R \frac{H^2 + (Rx + 2b)^2}{(Rx + 2b)} e^{-i\alpha x} dx \right] \text{ при } \varphi > 0 \\ T_0, \text{ при } \varphi = 0 \end{cases} \quad (4)$$

где μ – коэффициент трения, ρ – плотность троса, φ – угол охвата, v, a_t – соответственно скорость и ускорение движения троса по цилиндрическому валу механизма управления при разворачивании, R – радиус этого вала, H – высота механизма управления, b – проекция участка троса между валом и выходом из устройства на плоскость, перпендикулярную валу. Величина T_0 – это некоторая, малая по абсолютной величине константа, характеризующая силы трения, действующие на трос до его попадания на вал управляющего механизма.

В качестве закона управления для силы $F_{упр}$ в литературе встречаются различные линейные и нелинейные соотношения, в которых управляющая сила зависит от скорости разворачивания. В данной работе угол поворота управляющего вала задавался таблично на основании данных Delta-Utec (Нидерланды).

\mathbf{F}_{D1} – сила демпфирования, действующая между частями i и $i+1$. Эта сила обусловлена тем, что трос не является полностью эластичным. Это приводит к тому, что часть энергии тросовой системы рассеивается и относительная скорость движения точек уменьшается. Сила демпфирования \mathbf{D}_i вычислялась по формуле:

$$\mathbf{D}_i = k_d \cdot \frac{(\mathbf{v}_{i+1} - \mathbf{v}_i)}{L_i} \cdot \frac{\mathbf{L}_i}{L_i}$$

где $\mathbf{v}_{i+1}, \mathbf{v}_i$ – соответственно скорости точек $i+1$ и i , k_d – коэффициент демпфирования.

Тогда

$$F_{oi} = \begin{cases} i = 1, D_1 \\ i = 2, N - 1, D_{i+1} - D_i \\ i = N, -D_{N-1} \end{cases}$$

Описанная система обыкновенных дифференциальных уравнений (ОДУ) решается численно. К сожалению, явные методы решения ОДУ ведут себя неустойчиво. В поисках наилучшего метода решения проводился выбор между методом Розенброка и методом дифференцирования назад (МДН). Метод Розенброка основан на методах Рунге-Кутты и вместо решения систем нелинейных уравнений требует только одного решения системы линейных уравнений на каждом этапе. С другой стороны, для методов с высоким порядком точности число необходимых решений систем уравнений возрастает. Другим недостатком этого метода является то, что он проявляет неустойчивость при увеличении шага интегрирования. Все это приводит к необходимости использования МДН для решения системы (1). Он является устойчивыми при значительно больших шагах интегрирования и, кроме того, требует решения только одной нелинейной системы на каждом шаге. Однако возникает проблема, характерная для многошаговых методов и состоящая в том, что предыдущие точки траектории используются, чтобы найти последующие, которые могут радикальным образом измениться в результате действия внешних сил. Это приводит к использованию МДН первого порядка, которые не зависят от предыдущих значений, как, например, это делается в работе [4]. Окончательно для моделирования был выбран МДН второго порядка точности, опирающийся только на одно предыдущее значение, что явилось некоторым компромиссным решением.

Для решения системы в этом методе использовался метод минимизации общей невязки, который относится к классу методов подпространств Крылова [5].

На рис. 1 представлены результаты моделирования первого этапа разворачивания тросовой системы (6000 секунд). На графиках показана зависимость длины троса и расстояния между первым и последним элементом. Горизонтальные участки соответствуют периодам, когда длина троса не изменяется. Это объясняется тем, что расстояние между первой и последней точками меньше длины троса. Капсула поднимается вверх под действием сил натяжения, трос провисает и размотка троса останавливается. Подъем капсулы на этом этапе может достигать 25 метров.

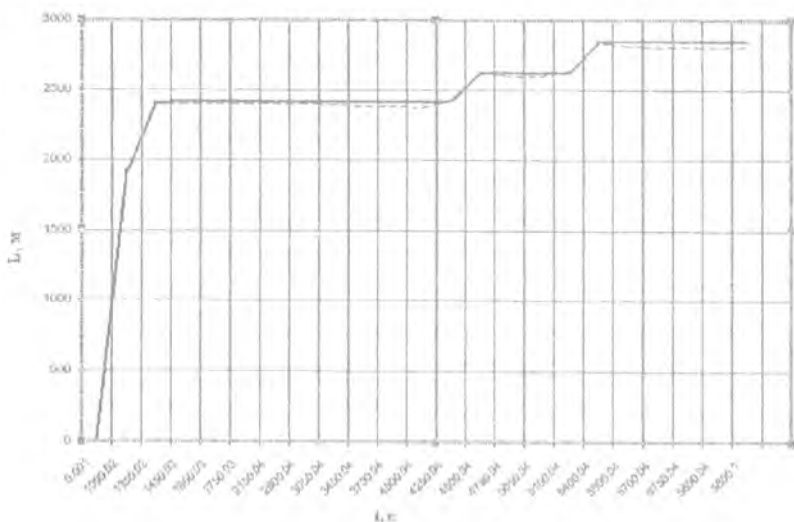


Рис 1 -- Изменение длина троса при разворачивании тросовой системы
 (— - длина выпущенного троса, --- - расстояние между капсулой и КА)

БИБЛИОГРАФИЧЕСКИЙ СПИСОК

1. Белецкий В.В., Левин Е.М. Динамика космических тросовых систем. — М.: Наука, 1990.
2. Иванов В.А., Сигарский Ю.С. Динамика полета системы гибко связанных космических объектов. М.: Машиностроение, 1986.
3. Щедров В.С. Основы механики гибкой нити. -- Л.: Машиз, 1961.
4. Michael Kass. An Introduction to Physically Based Modeling, 1997.
5. Saad Y. Iterative Methods for Sparse Linear Systems, 2nd edition, SIAM, 2003.
6. Hairer E., Wanner G. Solving ordinary differential equations. 2nd edition, Springer-Verlag Berlin, 1996.